

МИНИСТЕРСТВО ОБРАЗОВАНИЯ И НАУКИ РФ
ФЕДЕРАЛЬНОЕ ГОСУДАРСТВЕННОЕ АВТОНОМНОЕ
ОБРАЗОВАТЕЛЬНОЕ УЧРЕЖДЕНИЕ ВЫСШЕГО ОБРАЗОВАНИЯ
“САНКТ-ПЕТЕРБУРГСКИЙ НАЦИОНАЛЬНЫЙ
ИССЛЕДОВАТЕЛЬСКИЙ УНИВЕРСИТЕТ
ИТМО”
ФАКУЛЬТЕТ СИСТЕМ УПРАВЛЕНИЯ И РОБОТОТЕХНИКИ

Лабораторная работа №6:

«Практика с моторчиком»

по дисциплине Теория автоматического управления

Выполнили:

Осинина Т. С. R33362,

Королева А. Е. R33351,

Бахмутова В.Д. R33351,

Мальшева А.Л. R33351

Преподаватель: Перегудин А.А.

Санкт-Петербург, 2022

Математическая модель

При выполнении данной лабораторной работы в качестве математической модели двигателя используйте уравнение относительно угла

$$T\theta'' + \theta' = kU, (1)$$

где θ , рад — угол поворота двигателя, U , В — напряжение, поданное на двигатель, и уравнение относительно скорости

$$Tw' + w = kU, (2)$$

где w , рад/с — угловая скорость двигателя.

Весь наш код можно найти [по ссылке](#).

Задание 1. Определение параметров двигателя с помощью МНК

Снимите Step Response двигателя и, основываясь на этих данных, проведите аппроксимацию параметров T и k двигателя постоянного тока. В качестве математической модели используйте уравнение (1).

Решение:

$$T_{m_avg} = 0.0644$$

$$k_{avg} = 2.4716$$

Задание 2. Астатизмы и регуляторы

1) Используя П-регулятор, выполните слежение по углу поворота двигателя за

- постоянным сигналом,
- линейно возрастающим сигналом.

Используйте три различных значения коэффициента регулятора, сделайте выводы о его влиянии на величину ошибки регулирования. Для линейного сигнала аналитически посчитайте предполагаемую ошибку и сравните с реальной.

2) Используя ПИ-регулятор, выполните слежение по углу поворота двигателя за

- линейно возрастающим сигналом,
- квадратичным сигналом,
- кубическим сигналом.

Посчитайте предполагаемую ошибку и сравните с экспериментом. Приведите в отчете сравнительные графики ошибок для трех разных сигналов на одном рисунке.

3) Сделайте специальный регулятор для слежения по углу за сигналом вида

$$A_1 \cos(\omega t + \varphi_1) + A_2 \sin(\omega t + \varphi_2)$$

Коэффициенты A_1 , A_2 , φ_1 , φ_2 выберите различными. Примечание: обратите внимание, что у двигателя есть предельная скорость, так что за некоторыми сигналами он сможет следить только ограниченное время.

Решение:

Задание 2.1. П - регулятор

Постоянный сигнал

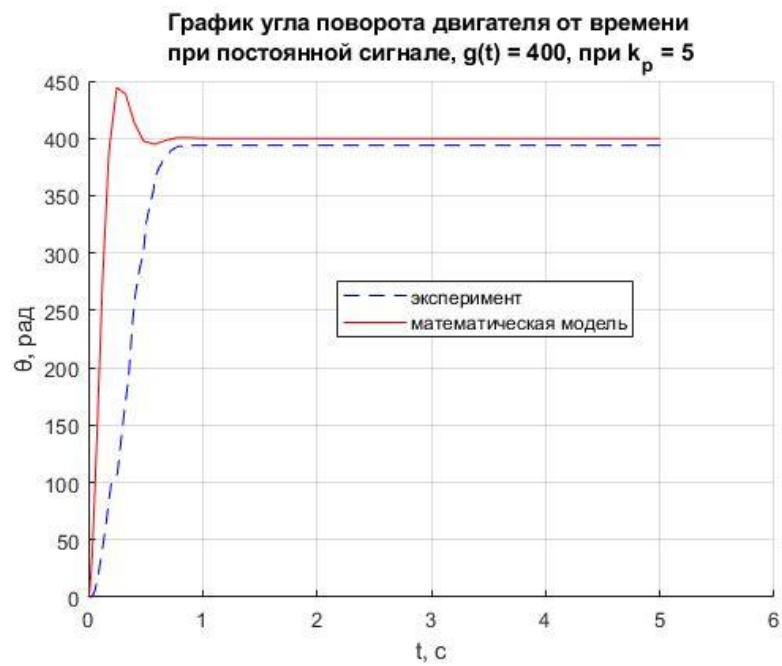
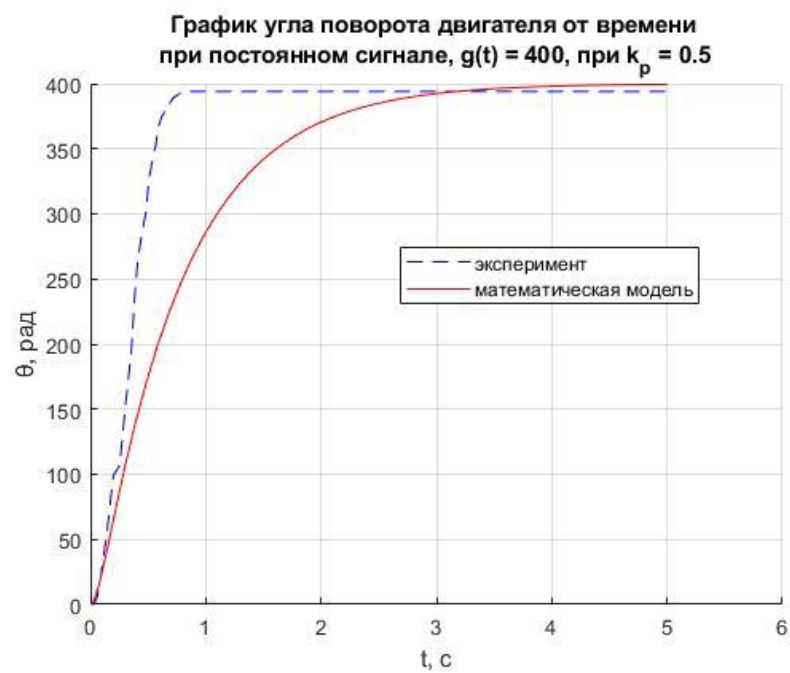


График угла поворота двигателя от времени
при постоянной сигнале, $g(t) = 400$, при $k_p = 50$

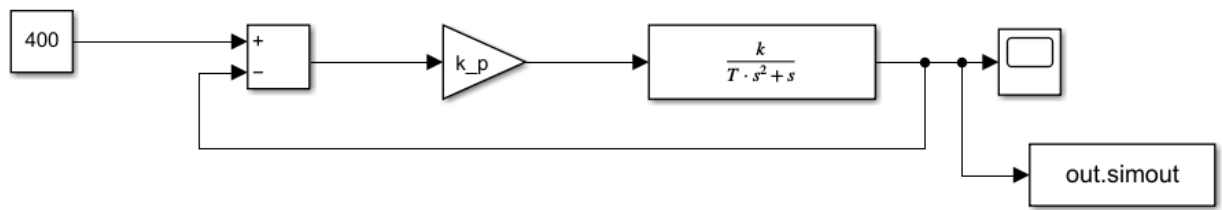
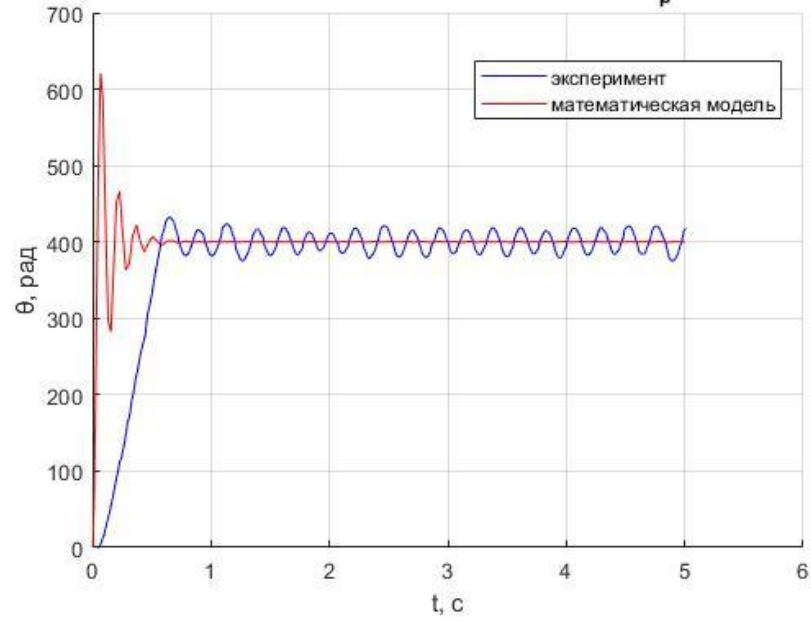


Схема моделирования П-регулятора с постоянным сигналом

Для того, чтобы найти ошибку, находим образ Лапласа от $g(t)$, $G(s) = \frac{400}{s}$:
 При $k = 0.5$:

$$W(s) = 0.5 \cdot \frac{k}{Ts^2 + s}$$

$$E(s) = W_{g \rightarrow e} \cdot G(s) = \frac{Ts^2 + s}{0.5k + Ts^2 + s} \cdot \frac{400}{s}$$

$$, \text{ где } W_{g \rightarrow e} = \frac{1}{\frac{0.5k}{Ts^2 + s} + 1} = \frac{1}{\frac{0.5k}{Ts^2 + s} + \frac{Ts^2 + s}{Ts^2 + s}} = \frac{1}{\frac{0.5k + Ts^2 + s}{Ts^2 + s}} = \frac{Ts^2 + s}{0.5k + Ts^2 + s}$$

$$e = \lim_{s \rightarrow 0} s \cdot E(s) = \lim_{s \rightarrow 0} \left(s \cdot \frac{Ts^2 + s}{0.5k + Ts^2 + s} \cdot \frac{400}{s} \right) = \lim_{s \rightarrow 0} \left(\frac{Ts^2 + s}{0.5k + Ts^2 + s} \cdot \frac{400}{1} \right) = 0$$

При $k = 5$:

$$W(s) = 5 \cdot \frac{k}{Ts^2 + s}$$

$$E(s) = W_{g \rightarrow e} \cdot G(s) = \frac{Ts^2 + s}{5k + Ts^2 + s} \cdot \frac{400}{s}$$

$$\text{где } W_{g \rightarrow e} = \frac{1}{\frac{5k}{Ts^2 + s} + 1} = \frac{1}{\frac{5k}{Ts^2 + s} + \frac{Ts^2 + s}{Ts^2 + s}} = \frac{1}{\frac{5k + Ts^2 + s}{Ts^2 + s}} = \frac{Ts^2 + s}{5k + Ts^2 + s}$$

$$e = \lim_{s \rightarrow 0} s \cdot E(s) = \lim_{s \rightarrow 0} \left(\frac{Ts^2 + s}{5k + Ts^2 + s} \cdot \frac{400}{1} \right) = 0$$

При $k = 50$:

$$W(s) = 50 \cdot \frac{k}{Ts^2 + s}$$

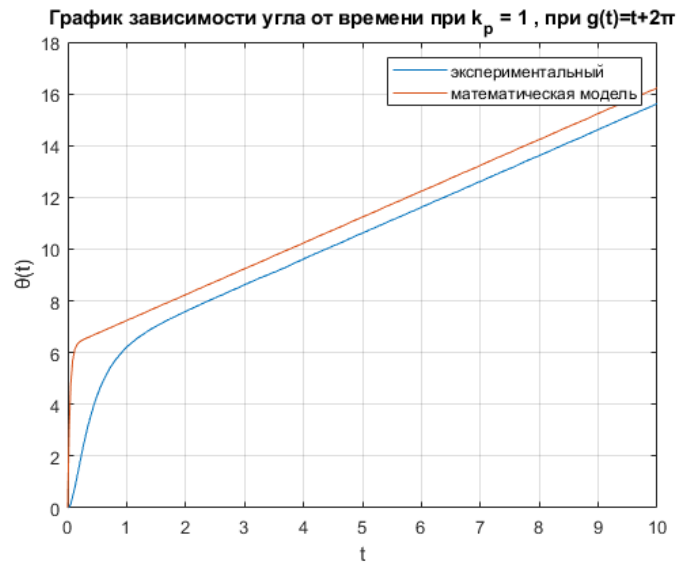
$$E(s) = W_{g \rightarrow e} \cdot G(s) = \frac{Ts^2 + s}{50k + Ts^2 + s} \cdot \frac{400}{s}$$

$$\text{где } W_{g \rightarrow e} = \frac{1}{\frac{50k}{Ts^2 + s} + 1} = \frac{1}{\frac{50k}{Ts^2 + s} + \frac{Ts^2 + s}{Ts^2 + s}} = \frac{1}{\frac{50k + Ts^2 + s}{Ts^2 + s}} = \frac{Ts^2 + s}{50k + Ts^2 + s}$$

$$e = \lim_{s \rightarrow 0} s \cdot E(s) = \lim_{s \rightarrow 0} \left(\frac{Ts^2 + s}{50k + Ts^2 + s} \cdot \frac{400}{1} \right) = 0$$

Вывод: рассчитали ошибку при постоянном сигнале, получили значение = 0, как видим на графиках зависимости угла от времени ошибка приблизительно равна 0. Анализируя график математической модели и расчетную ошибку, заметили, что коэффициент регулятора не влияет на ошибку. На практике при небольших значениях коэффициента ошибка близка к 0, но при больших значениях, а именно $k_p = 50$, ошибка увеличивается.

Линейно возрастающий сигнал



Для того, чтобы найти ошибку, находим образ Лапласа от $g(t)$, $G(s)=\frac{1+2\pi s}{s^2}$:
 При $k_p = 1$:

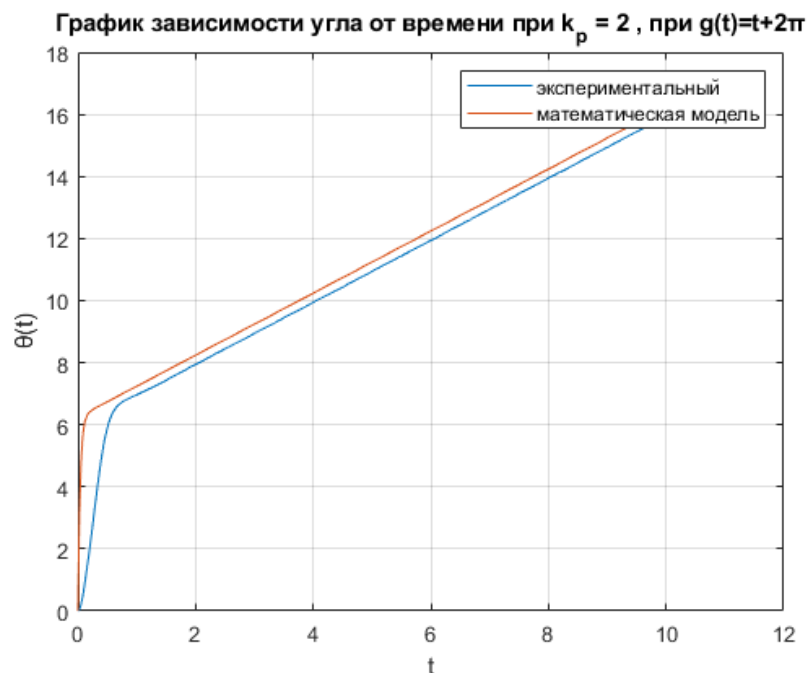
$$W(s) = 1 \cdot \frac{k}{Ts^2 + s}$$

$$E(s) = W_{g \rightarrow e} \cdot G(s) = \frac{Ts^2 + s}{k + Ts^2 + s} \cdot \frac{1 + 2\pi s}{s^2}$$

$$, \text{ где } W_{g \rightarrow e} = \frac{1}{\frac{k}{Ts^2 + s} + 1} = \frac{1}{\frac{k}{Ts^2 + s} + \frac{Ts^2 + s}{Ts^2 + s}} = \frac{1}{\frac{k + Ts^2 + s}{Ts^2 + s}} = \frac{Ts^2 + s}{k + Ts^2 + s}$$

$$e = \lim_{s \rightarrow 0} s \cdot E(s) = \lim_{s \rightarrow 0} \left(s \cdot \frac{Ts^2 + s}{k + Ts^2 + s} \cdot \frac{1 + 2\pi s}{s^2} \right) = \lim_{s \rightarrow 0} \left(s \cdot \frac{s(Ts + 1)}{k + Ts^2 + s} \cdot \frac{1 + 2\pi s}{s^2} \right) =$$

$$\lim_{s \rightarrow 0} \left(\frac{(Ts + 1)}{k + Ts^2 + s} \cdot \frac{1 + 2\pi s}{1} \right) = \frac{1}{k} = \frac{1}{2.4716} = 0,4$$



При $k_p = 2$:

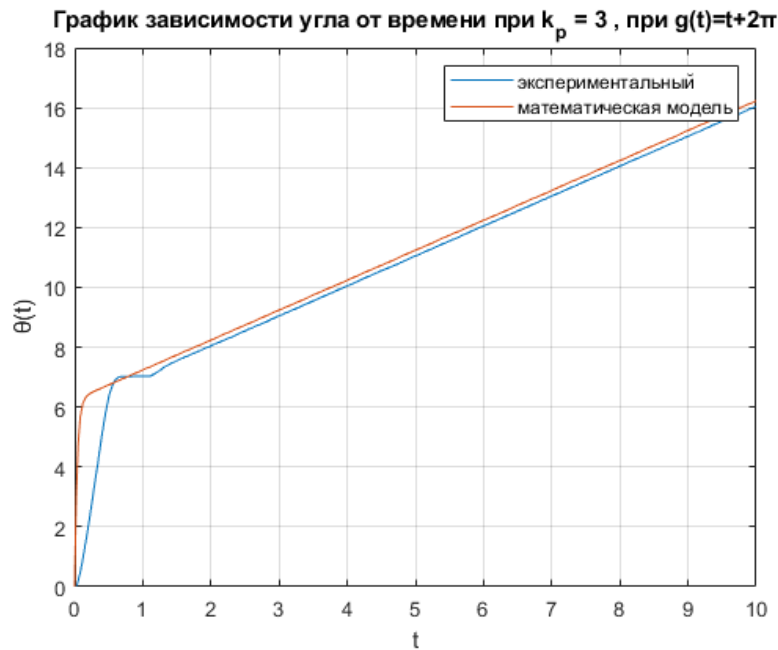
$$W(s) = 2 \cdot \frac{k}{Ts^2 + s}$$

$$E(s) = W_{g \rightarrow e} \cdot G(s) = \frac{Ts^2 + s}{k + Ts^2 + s} \cdot \frac{1 + 2\pi s}{s^2}$$

$$, \text{ где } W_{g \rightarrow e} = \frac{1}{\frac{2k}{Ts^2 + s} + 1} = \frac{1}{\frac{2k}{Ts^2 + s} + \frac{Ts^2 + s}{Ts^2 + s}} = \frac{1}{\frac{2k + Ts^2 + s}{Ts^2 + s}} = \frac{Ts^2 + s}{2k + Ts^2 + s}$$

$$e = \lim_{s \rightarrow 0} s \cdot E(s) = \lim_{s \rightarrow 0} \left(s \cdot \frac{Ts^2 + s}{2k + Ts^2 + s} \cdot \frac{1 + 2\pi s}{s^2} \right) = \lim_{s \rightarrow 0} \left(s \cdot \frac{s(Ts + 1)}{2k + Ts^2 + s} \cdot \frac{1 + 2\pi s}{s^2} \right) =$$

$$\lim_{s \rightarrow 0} \left(\frac{(Ts + 1)}{2k + Ts^2 + s} \cdot \frac{1 + 2\pi s}{1} \right) = \frac{1}{2k} = \frac{1}{2 \cdot 2.4716} = 0,2$$



При $k_p = 3$:

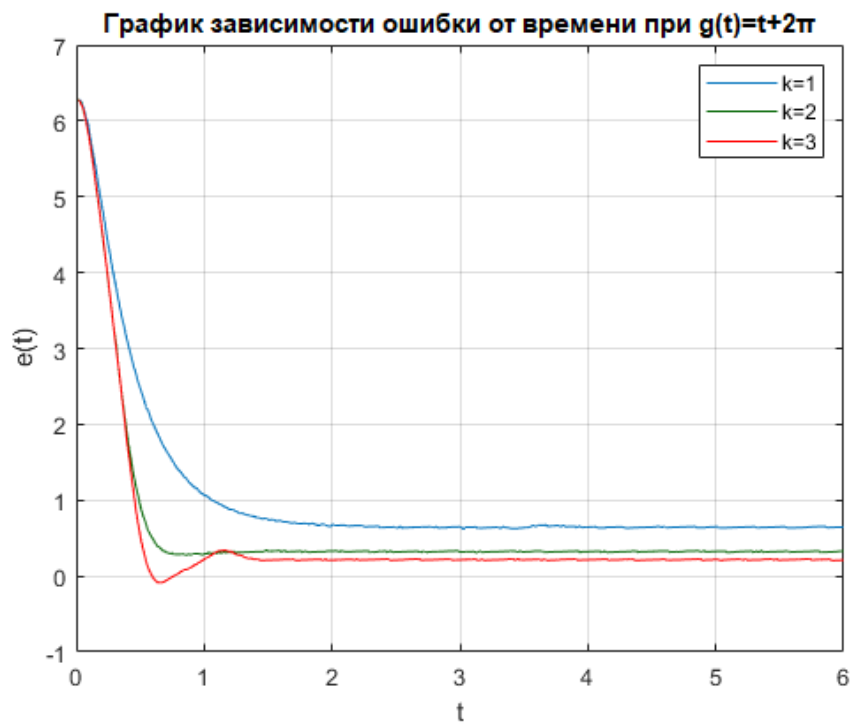
$$W(s) = 3 \cdot \frac{k}{Ts^2 + s}$$

$$E(s) = W_{g \rightarrow e} \cdot G(s) = \frac{Ts^2 + s}{3k + Ts^2 + s} \cdot \frac{1 + 2\pi s}{s^2}$$

$$, \text{ где } W_{g \rightarrow e} = \frac{1}{\frac{3k}{Ts^2 + s} + 1} = \frac{1}{\frac{3k}{Ts^2 + s} + \frac{Ts^2 + s}{Ts^2 + s}} = \frac{1}{\frac{3k + Ts^2 + s}{Ts^2 + s}} = \frac{Ts^2 + s}{3k + Ts^2 + s}$$

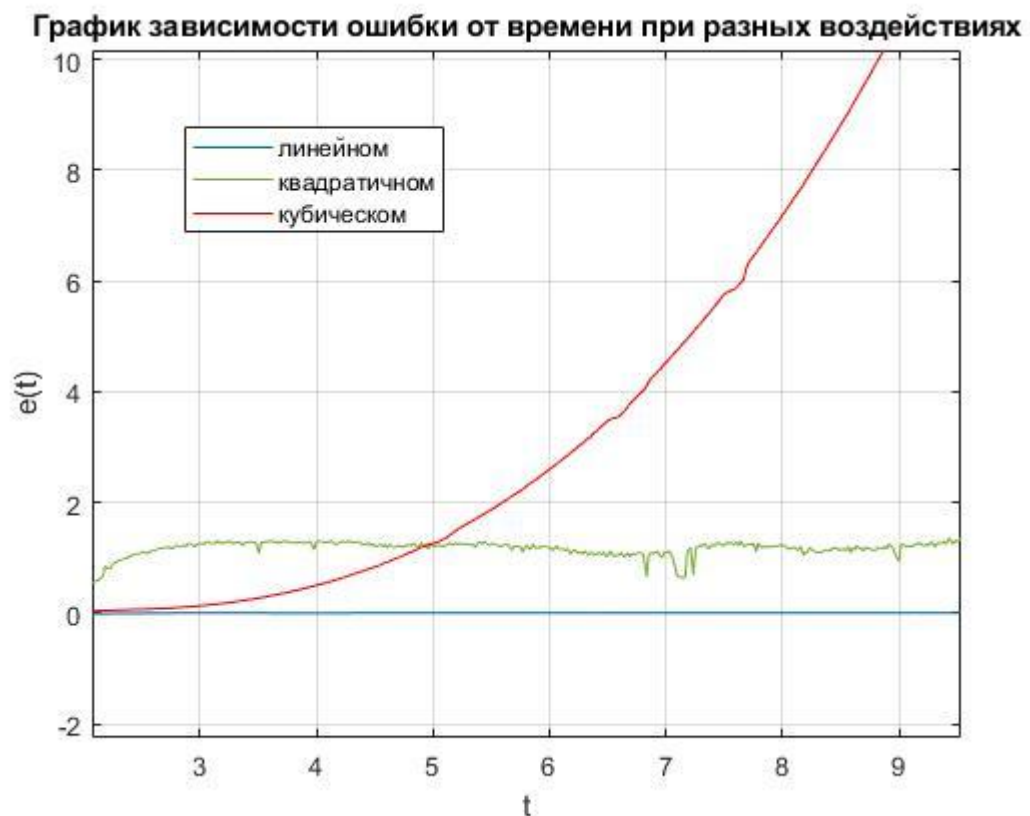
$$e = \lim_{s \rightarrow 0} s \cdot E(s) = \lim_{s \rightarrow 0} \left(s \cdot \frac{Ts^2 + s}{3k + Ts^2 + s} \cdot \frac{1 + 2\pi s}{s^2} \right) = \lim_{s \rightarrow 0} \left(s \cdot \frac{s(Ts + 1)}{3k + Ts^2 + s} \cdot \frac{1 + 2\pi s}{s^2} \right) =$$

$$\lim_{s \rightarrow 0} \left(\frac{(Ts + 1)}{3k + Ts^2 + s} \cdot \frac{1 + 2\pi s}{1} \right) = \frac{1}{3k} = \frac{1}{3 \cdot 2.4716} = 0,1$$



Вывод: рассчитав ошибки, выяснили, что это постоянная величина, ошибки при увеличении коэффициентов уменьшаются. Эксперимент подтвердил наши выводы.

Задание 2.2. ПИ - регулятор



При линейном воздействии:

При $k_p = 0.5, k_i = 0.5$:

$$W(s) = \left(0.5 + \frac{0.5}{s}\right) \cdot \frac{k}{Ts^2 + s} = \frac{0.5s + 0.5}{s} \cdot \frac{k}{Ts^2 + s} = \frac{k(0.5s + 0.5)}{Ts^3 + s^2}$$

$$E(s) = W_{g \rightarrow e} \cdot G(s) = \frac{Ts^3 + s^2}{k(0.5s + 0.5) + Ts^3 + s^2} \cdot \frac{1 + 2\pi s}{s^2}$$

$$, \text{ где } W_{g \rightarrow e} = \frac{1}{\frac{k(0.5s + 0.5)}{Ts^3 + s^2} + 1} = \frac{1}{\frac{k(0.5s + 0.5) + Ts^3 + s^2}{Ts^3 + s^2}} = \frac{1}{\frac{k(0.5s + 0.5) + Ts^3 + s^2}{Ts^3 + s^2}} = \frac{Ts^3 + s^2}{k(0.5s + 0.5) + Ts^3 + s^2}$$

$$e = \lim_{s \rightarrow 0} s \cdot E(s)$$

$$= \lim_{s \rightarrow 0} \left(s \cdot \frac{Ts^3 + s^2}{k(0.5s + 0.5) + Ts^3 + s^2} \cdot \frac{1 + 2\pi s}{s^2} \right)$$

$$= \lim_{s \rightarrow 0} \left(s \cdot \frac{Ts + 1}{k(0.5s + 0.5) + Ts^3 + s^2} \cdot \frac{1 + 2\pi s}{1} \right)$$

$$= \lim_{s \rightarrow 0} \left(s \cdot \frac{Ts + 1 + 2\pi Ts + 2\pi Ts^2}{k(0.5s + 0.5) + Ts^3 + s^2} \right) = 0$$

При квадратичном воздействии:

При $k_p = 0.5, k_i = 0.5$:

$$W(s) = \left(0.5 + \frac{0.5}{s}\right) \cdot \frac{k}{Ts^2 + s} = \frac{0.5s + 0.5}{s} \cdot \frac{k}{Ts^2 + s} = \frac{k(0.5s + 0.5)}{Ts^3 + s^2}$$

$$E(s) = W_{g \rightarrow e} \cdot G(s) = \frac{Ts^3 + s^2}{k(0.5s + 0.5) + Ts^3 + s^2} \cdot \frac{2 + 2\pi s^2}{s^3}$$

$$, \text{ где } W_{g \rightarrow e} = \frac{1}{\frac{k(0.5s + 0.5)}{Ts^3 + s^2} + 1} = \frac{1}{\frac{k(0.5s + 0.5) + Ts^3 + s^2}{Ts^3 + s^2}} = \frac{1}{\frac{k(0.5s + 0.5) + Ts^3 + s^2}{Ts^3 + s^2}} = \frac{Ts^3 + s^2}{k(0.5s + 0.5) + Ts^3 + s^2}$$

$$e = \lim_{s \rightarrow 0} s \cdot E(s) = \lim_{s \rightarrow 0} \left(\frac{Ts + 1}{k(0.5s + 0.5) + Ts^3 + s^2} \cdot \frac{2 + 2\pi s^2}{1} \right) = \frac{2}{0.5k} = 1.6$$

При кубическом воздействии:

При $k_p = 0.5, k_i = 0.5$:

$$W(s) = \left(0.5 + \frac{0.5}{s}\right) \cdot \frac{k}{Ts^2 + s} = \frac{0.5s + 0.5}{s} \cdot \frac{k}{Ts^2 + s} = \frac{k(0.5s + 0.5)}{Ts^3 + s^2}$$

$$E(s) = W_{g \rightarrow e} \cdot G(s) = \frac{Ts^3 + s^2}{k(0.5s + 0.5) + Ts^3 + s^2} \cdot \frac{6 + 2\pi s^3}{s^4}$$

$$, \text{ где } W_{g \rightarrow e} = \frac{1}{\frac{k(0.5s + 0.5)}{Ts^3 + s^2} + 1} = \frac{1}{\frac{k(0.5s + 0.5)}{Ts^3 + s^2} + \frac{Ts^3 + s^2}{Ts^3 + s^2}} = \frac{1}{\frac{k(0.5s + 0.5) + Ts^3 + s^2}{Ts^3 + s^2}} = \frac{Ts^3 + s^2}{k(0.5s + 0.5) + Ts^3 + s^2}$$

$$e = \lim_{s \rightarrow 0} s \cdot E(s)$$

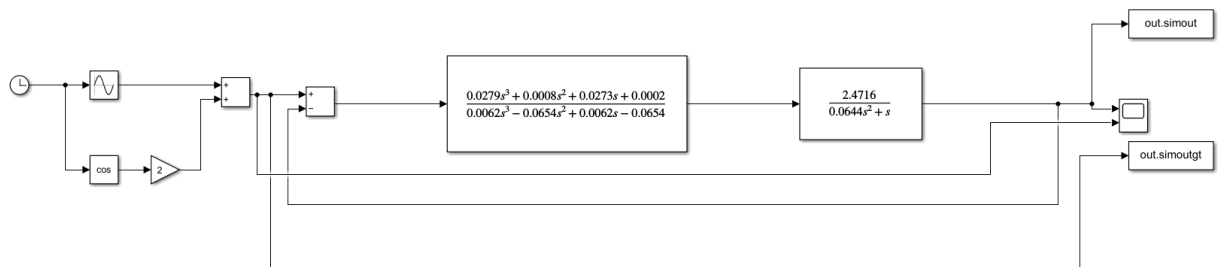
$$\begin{aligned} &= \lim_{s \rightarrow 0} \left(s \cdot \frac{Ts^3 + s^2}{k(0.5s + 0.5) + Ts^3 + s^2} \cdot \frac{6 + 2\pi s^3}{s^4} \right) \\ &= \lim_{s \rightarrow 0} \left(\frac{s^3(Ts + 1)}{k(0.5s + 0.5) + Ts^3 + s^2} \cdot \frac{6 + 2\pi s^3}{s^4} \right) \\ &= \lim_{s \rightarrow 0} \left(\frac{Ts + 1}{k(0.5s + 0.5) + Ts^3 + s^2} \cdot \frac{6 + 2\pi s^3}{s} \right) = \infty \end{aligned}$$

Вывод: При линейном воздействии ошибка равна 0, при квадратичном воздействии равна 1.6, при кубическом воздействии ошибка стремится к бесконечности. Значения расчетных ошибок сошлись с экспериментальными, следовательно, работа выполнена верно.

Задание 2.3. Специальный регулятор

Передаточная функция регулятора:

$$W_{per}(s) = \frac{0.0279s^3 + 0.0008s^2 + 0.0273s + 0.0002}{0.0062s^3 - 0.0654s^2 + 0.0062s - 0.0654}$$



Графики зависимости входа и выхода при регуляторе общего вида

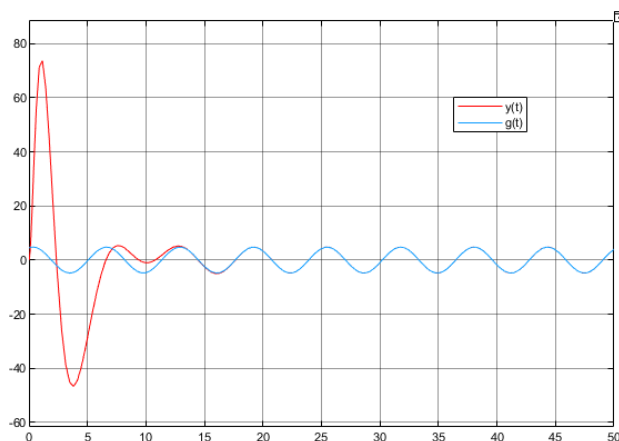
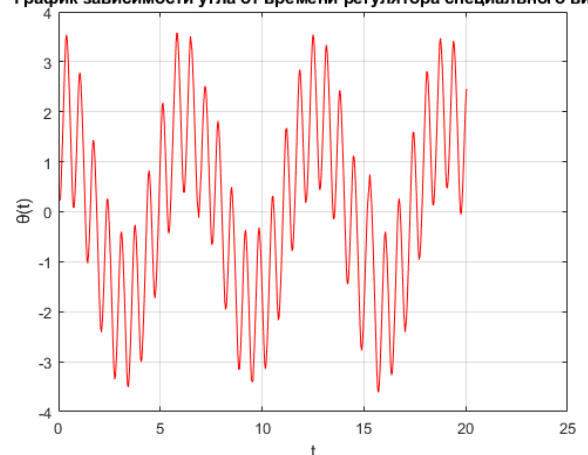


График зависимости угла от времени регулятора специального вида

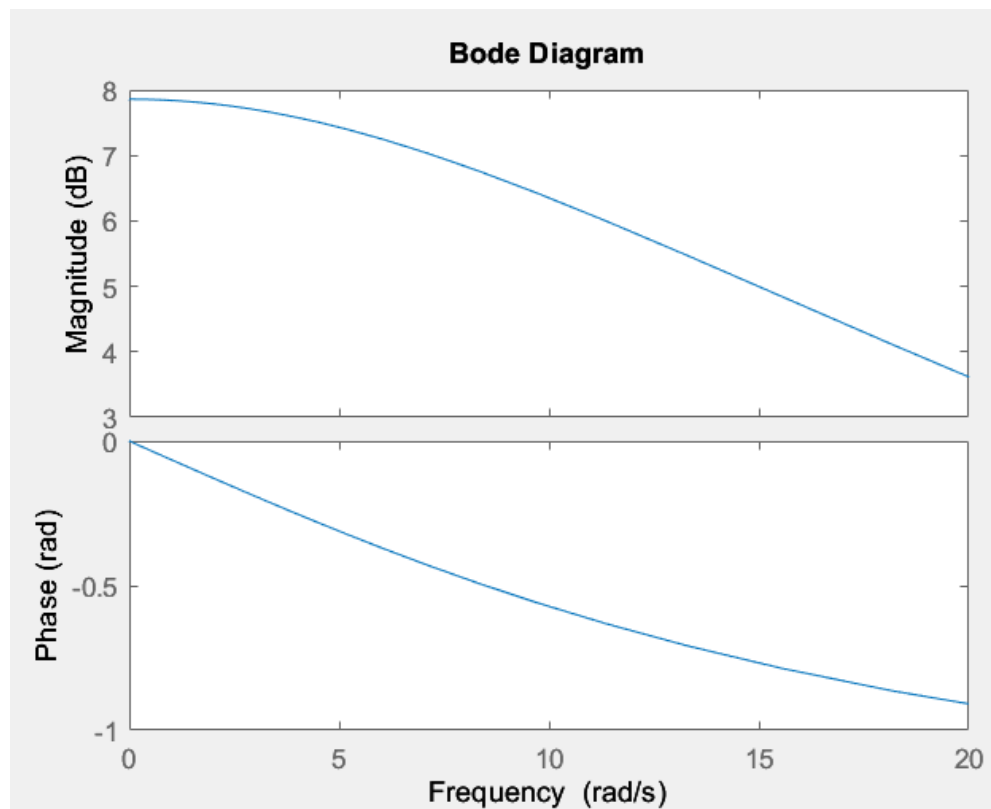


Вывод: у нас получилось создать регулятор общего вида в теории, так как графики входного воздействия и выхода сошлись, но на практике графики не сошлись, так как мы не учли ограничения мотора, а также запаздывание. Как оказалось, в жизни все намного сложнее, чем в теории.

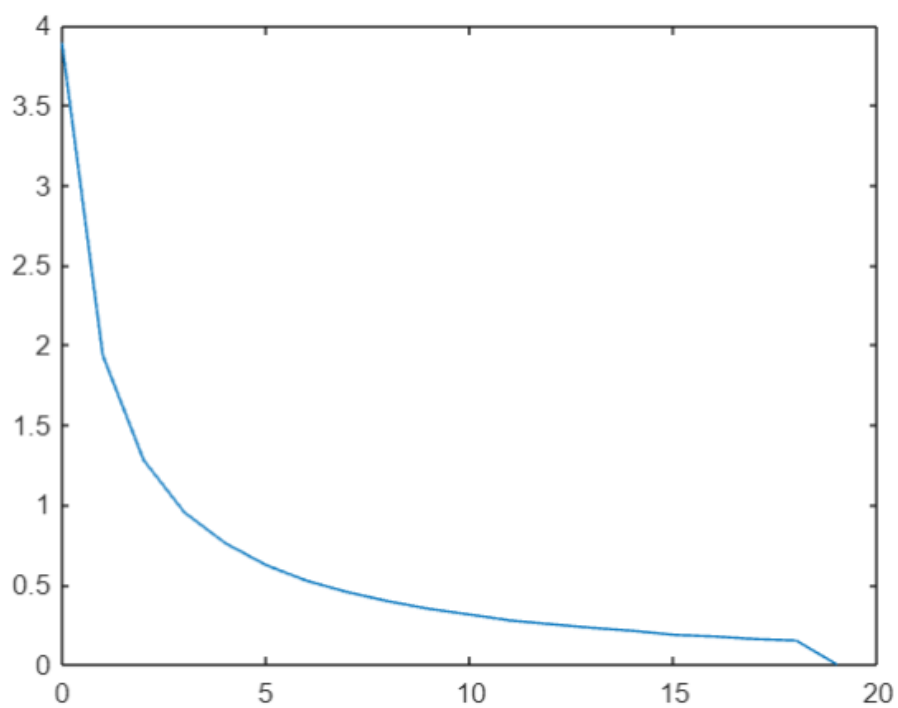
Задание 3. Частотные характеристики

Получите экспериментально АЧХ и ФЧХ двигателя постоянного тока относительно скорости. Сравните их с теоретическими.

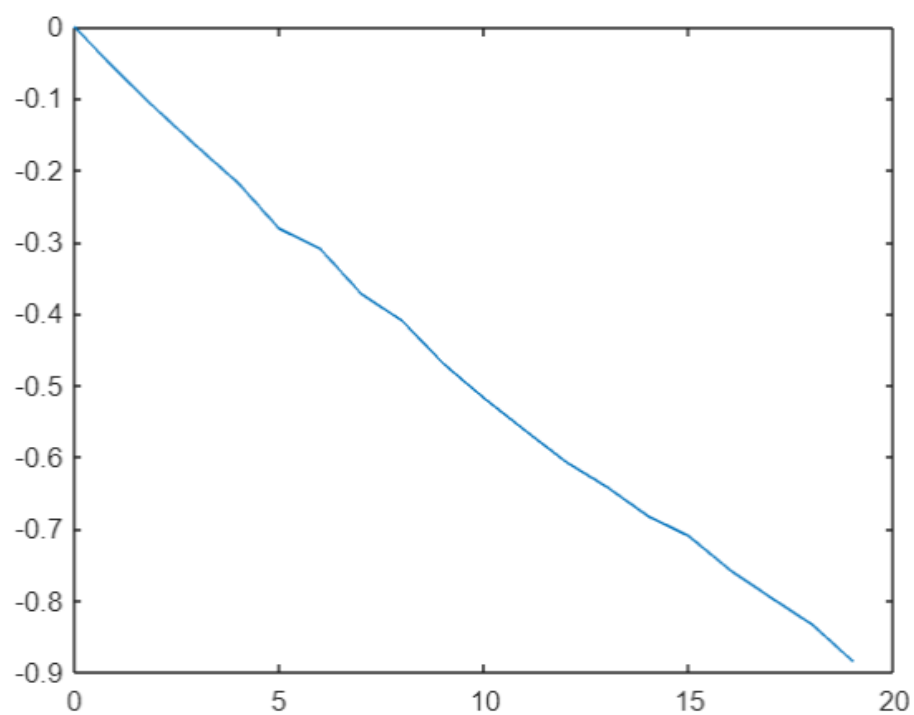
Решение:



Теоретические АЧХ и ФЧХ



АЧХ полученная экспериментально



ФЧХ полученная экспериментально

Вывод:

По графикам видно, что экспериментальные АЧХ и ФЧХ примерно совпадают с теоретическими.

Задание 4. Критерий Найквиста

Используя П-регулятор, поверните двигатель на фиксированный угол. Найдите (аналитически и экспериментально) критическую задержку, при которой данная система становится неустойчивой. Сравните результаты. В отчете приведите графики поведения системы с задержкой до критического значения и после.

Решение:

Определим аналитически критическую задержку с помощью MATLAB:

```
k = 2.4716  
T = 0.0644  
sys = tf([k], [T 1 0]);  
margin(sys)  
  
tau = deg2rad(81.0011)/2.45 % ищем критическую задержку: делим запас по  
фазе (через ЛАЧХ и ЛФЧХ) на частоту (координату x точек пересечения  
пунктирной вертикали и ФЧХ)
```

tau_an = 0,577

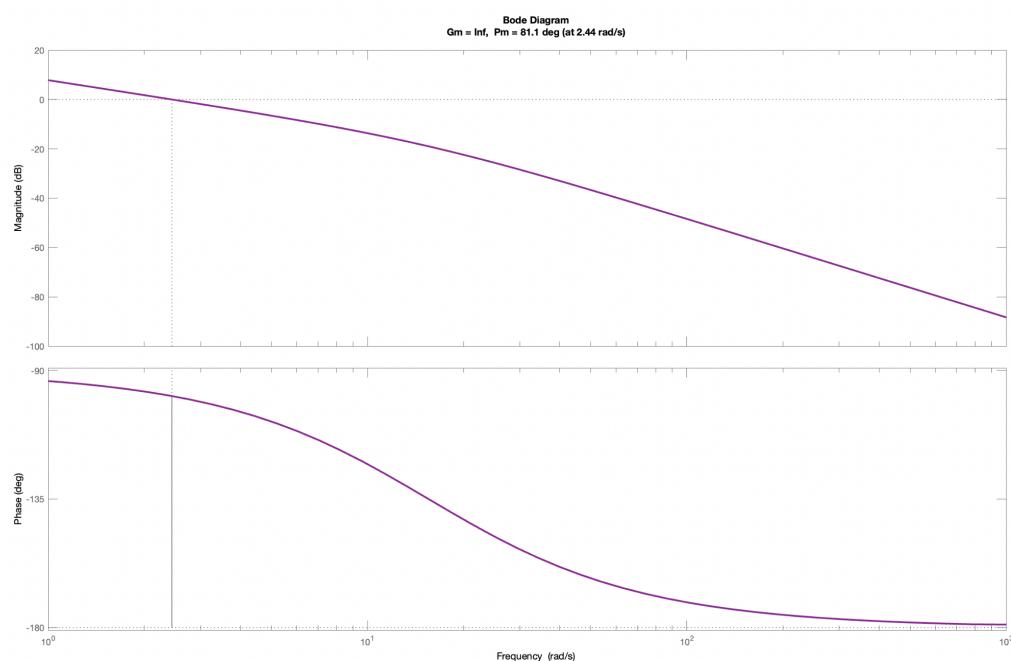


Рисунок - ЛАЧХ и ЛФЧХ передаточной функции

Эксперимент:

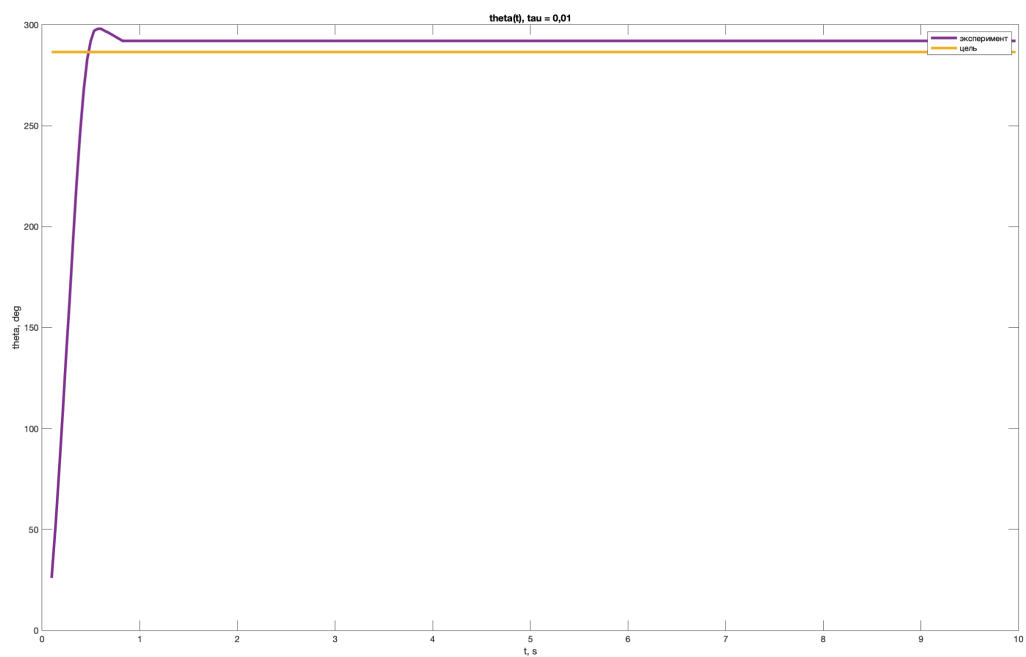


Рисунок - График зависимости $\theta(t)$ при $\tau = 0,01$

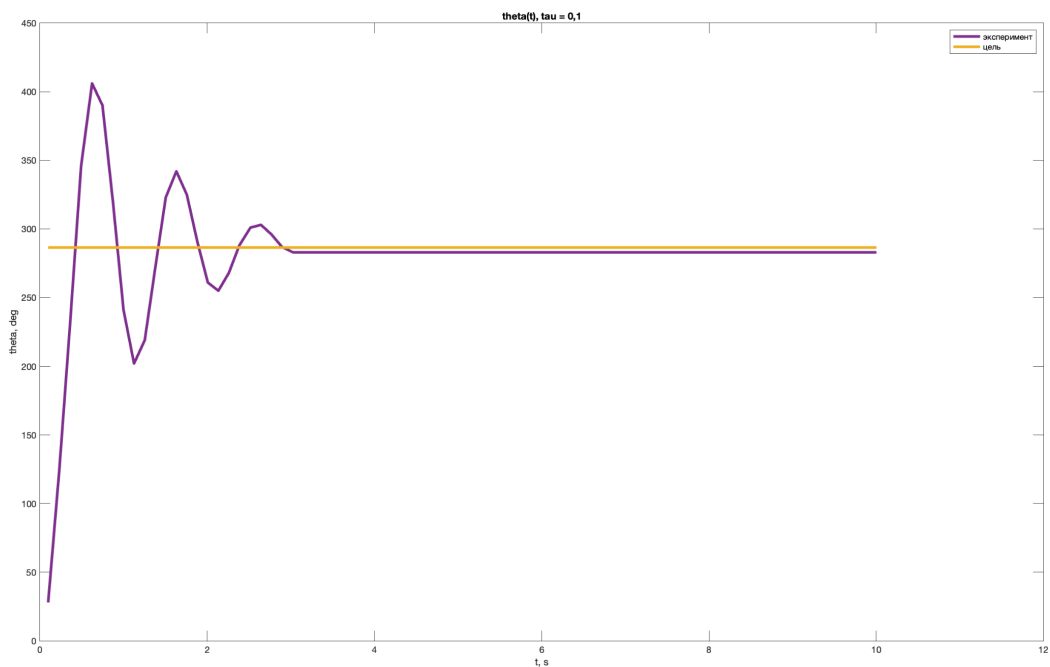


Рисунок - График зависимости $\theta(t)$ при $\tau = 0,1$

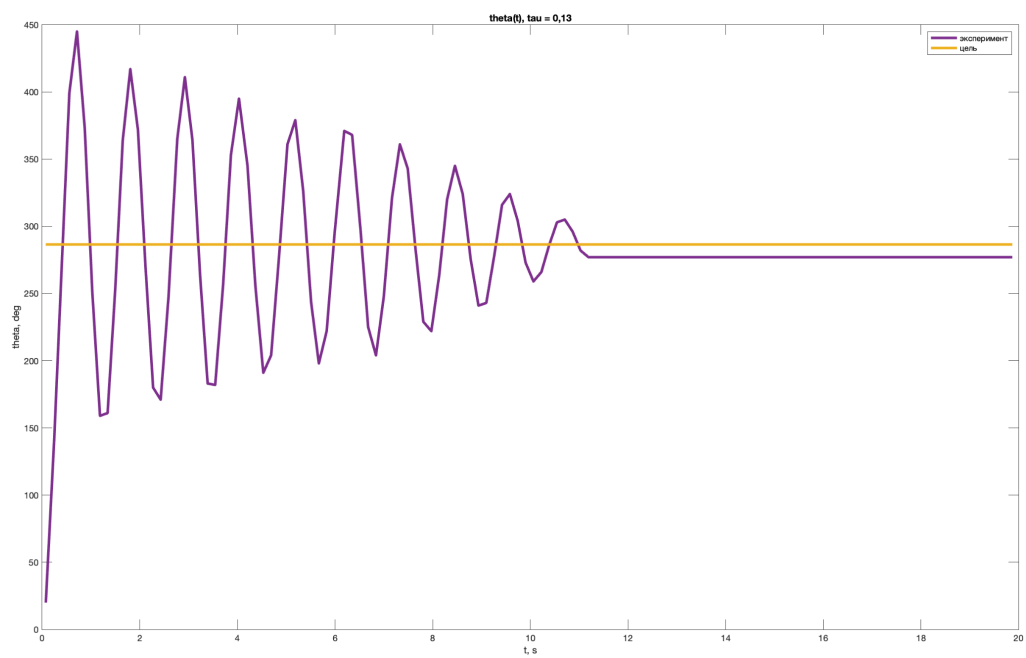


Рисунок - График зависимости $\theta(t)$ при $\tau = 0,13$

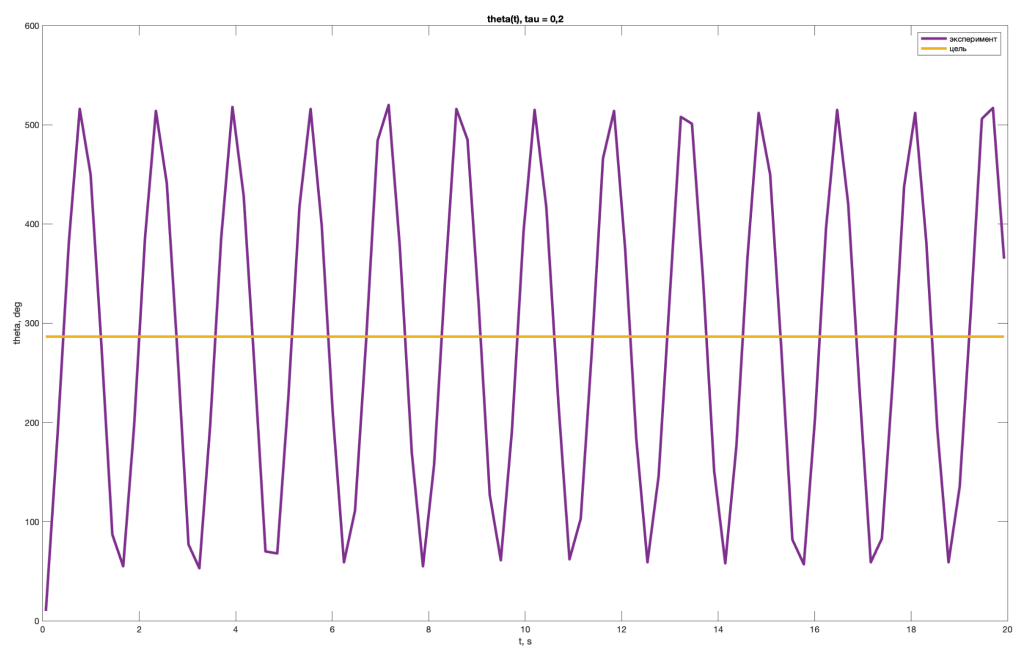


Рисунок - График зависимости $\theta(t)$ при $\tau = 0,2$

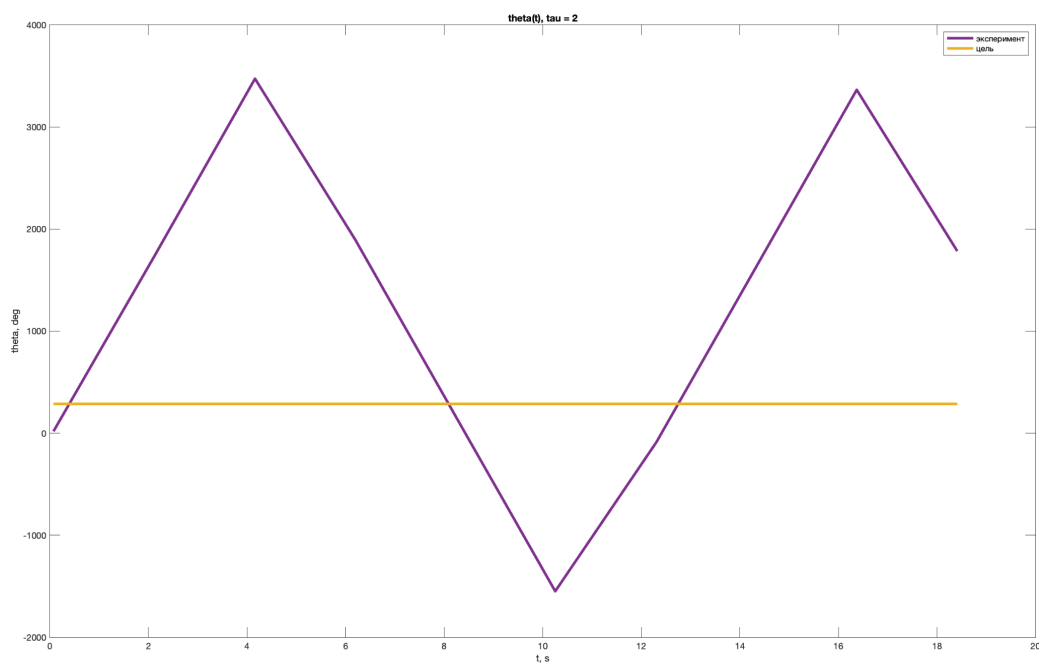


Рисунок - График зависимости $\theta(t)$ при $\tau = 2$

Вывод: У каждой медали есть две стороны, и однажды все может перевернуться... А если серьезно, то по экспериментальным данным критическая задержка получается следующей $0,13 < \tau_{exp} < 0,2$, а уже потом наша система в цель прийти не может. Экспериментальная задержка меньше аналитической почти в 3 раза. Это связано с тем, что мы считаем τ как для “обратного” звена чистого запаздывания. Положительный сдвиг фазы говорит о том, что сигнал на выходе появляется *раньше*, чем на входе. А это нереально, так как мы не можем «заглянуть в будущее». Отсюда и получается большое расхождение в экспериментальном и аналитическом значениях.

Задание 5. Вынужденное движение

Рассчитайте траекторию угла поворота двигателя и его угловой скорости при подаче на двигатель входных воздействий вида

- $A_1 \sin(\omega_1 t)$
- $A_2 \cos(\omega_2 t) + A_3 \sin(\omega_3 t)$

Коэффициенты A_1 , A_2 , A_3 , а также ω_1 , ω_2 , ω_3 выберите самостоятельно. Все коэффициенты для второго воздействия должны быть различными. Подайте такое же воздействие на реальный двигатель и сравните результат с расчетами.

Решение:

$$A_1 = 80;$$

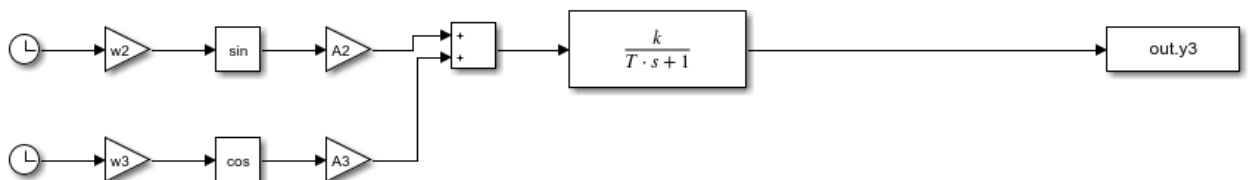
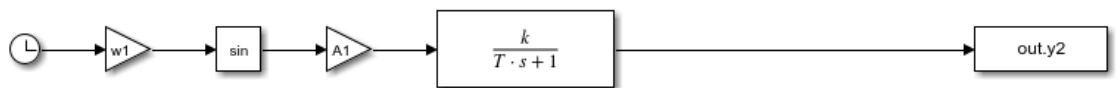
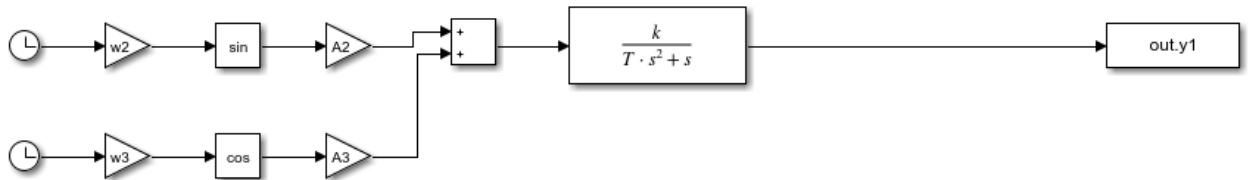
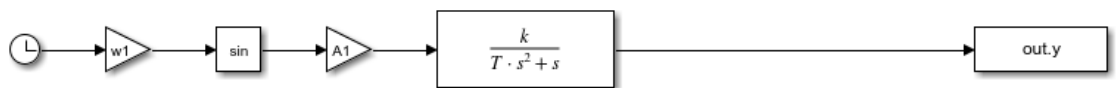
$$A_2 = 20;$$

$$A_3 = 70;$$

$$\omega_1 = 3;$$

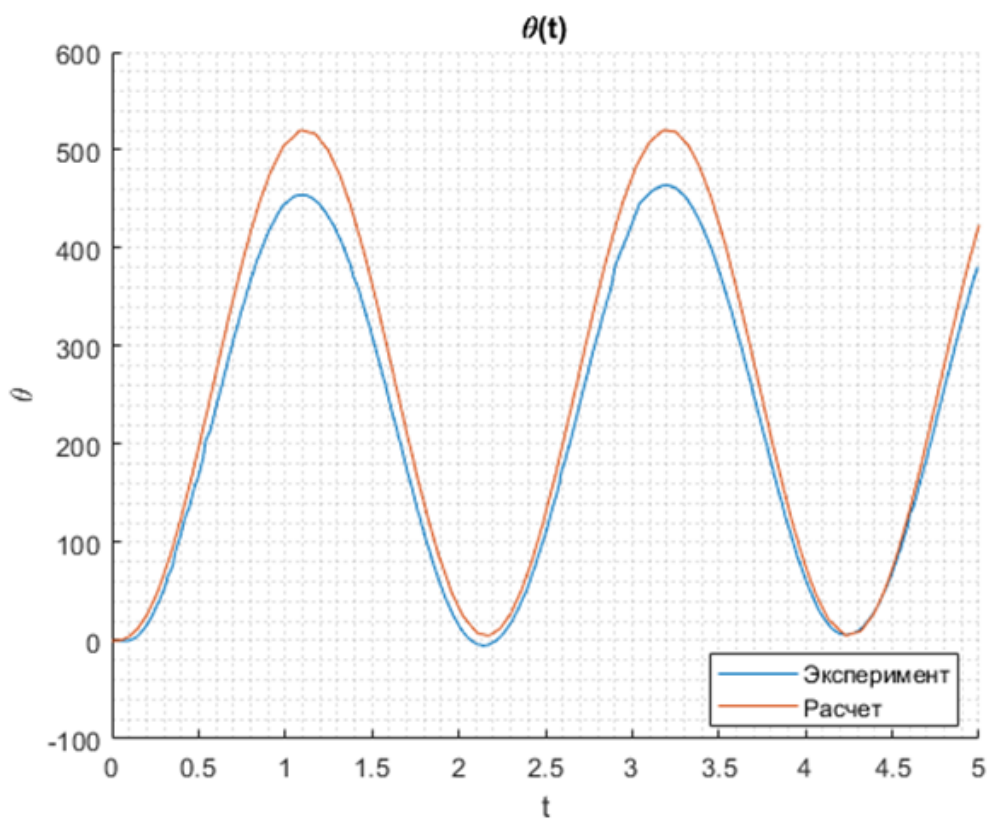
$$\omega_2 = 20;$$

$$\omega_3 = 8;$$

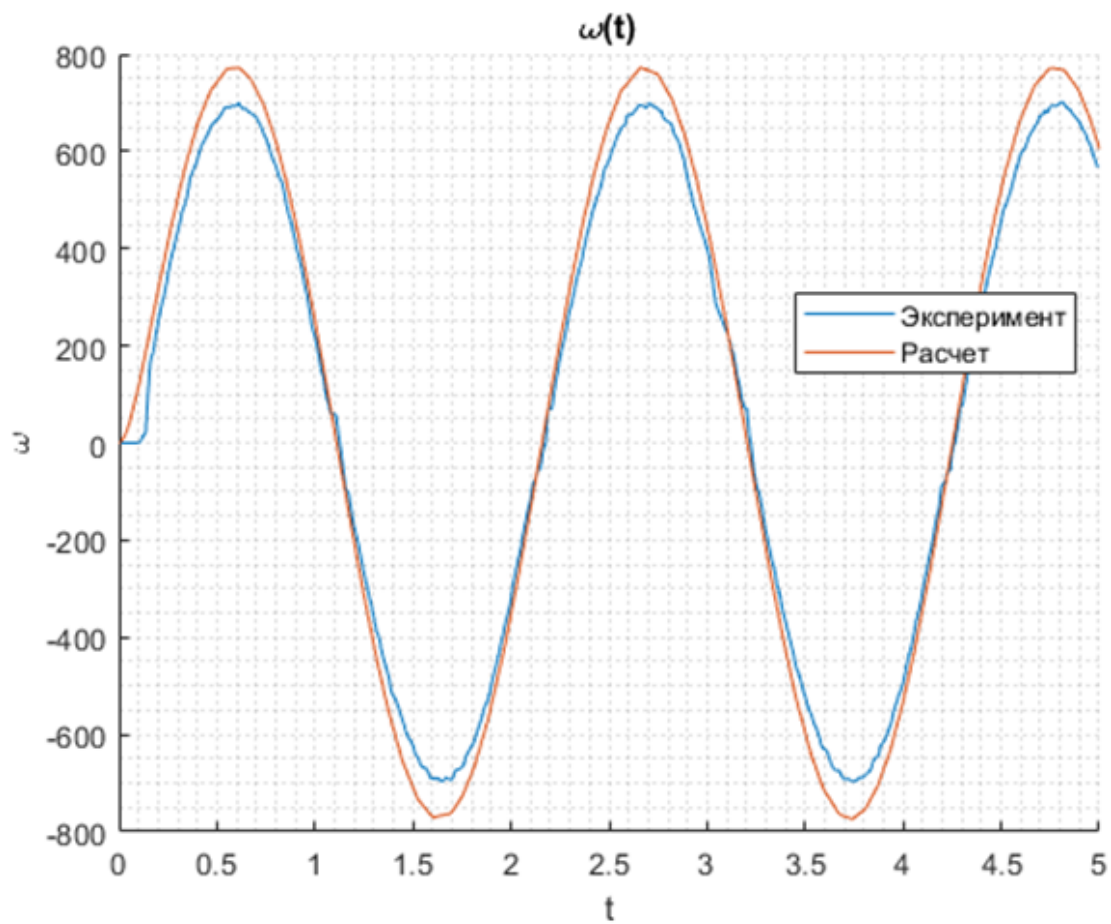


Схемы моделирования траекторий угла поворота двигателя и его угловой скорости при подаче на него различных входных воздействий для расчетных графиков

1) $A_1 \sin(\omega_1 t)$

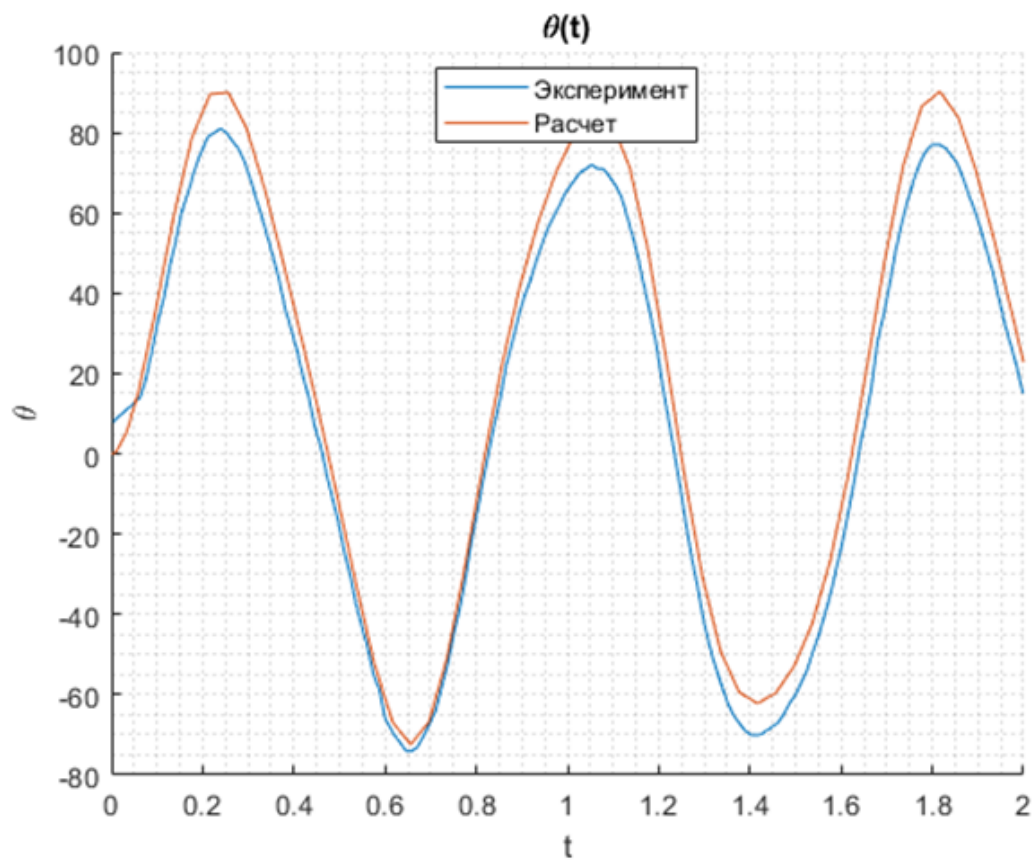


Угол поворота двигателя при гармоническом входном воздействии

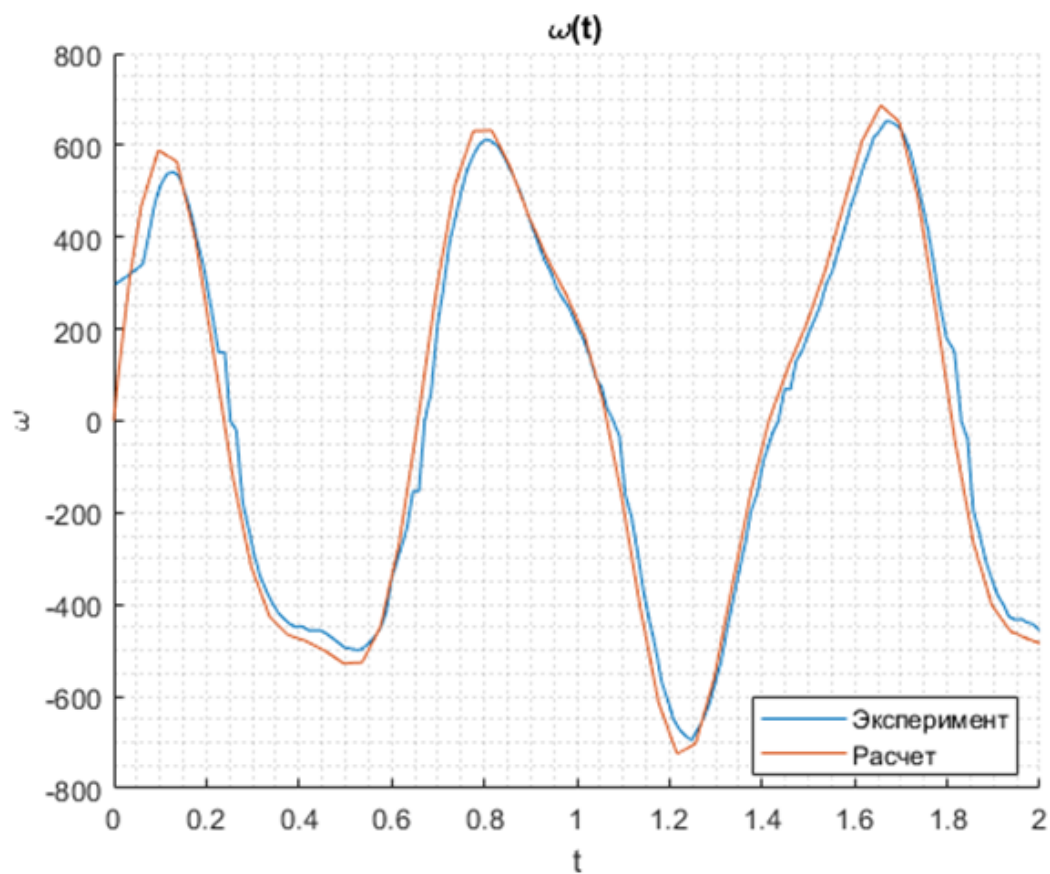


Угловая скорость двигателя при гармоническом входном воздействии

2) $A_2 \cos(\omega_2 t) + A_3 \sin(\omega_3 t)$



Угол поворота двигателя при входном воздействии $A_2 \cos(\omega_2 t) + A_3 \sin(\omega_3 t)$



Угловая скорость двигателя при входном воздействии $A_2 \cos(\omega_2 t) + A_3 \sin(\omega_3 t)$

Выводы:

Была рассчитана траектория угла поворота двигателя и его угловой скорости при подаче на двигатель входных воздействий вида $A_1 \sin(\omega_1 t)$ и $A_2 \cos(\omega_2 t) + A_3 \sin(\omega_3 t)$ в среде Simulink, а также проведено их сравнение с экспериментально измеренными данными в Matlab (код можно посмотреть по ссылке в начале отчета).

На всех графиках расчет хорошо согласуется с экспериментом. Расхождения объясняются нелинейностью системы. На графике “Угол поворота двигателя при гармоническом входном воздействии” видно, что двигатель не доворачивается до расчетного графика: 60° в одном направлении вращения двигателя и 0° в противоположном направлении вращения двигателя. Аналогично и при входном воздействии $A_2 \cos(\omega_2 t) + A_3 \sin(\omega_3 t)$: разность углов доходит до 15° . На графике “Угловая скорость двигателя при гармоническом входном воздействии” наблюдается нулевая угловая скорость при $0 \text{ с} \leq t \leq 0,1 \text{ с}$. Для входного воздействия $A_2 \cos(\omega_2 t) + A_3 \sin(\omega_3 t)$ график угла поворота двигателя почти повторяет синус как по экспериментальным данным, так и по расчетным. Это можно объяснить большой разницей амплитуд: $A_2 = 20$ и $A_3 = 70$. Таким образом, одна синусоида гораздо слабее проявляет себя, чем вторая. Однако можно заметить, что пики, что для экспериментального, что и для расчетного отличаются друг от друга - это проявление влияния малой синусоиды. Последний график получился идеальным: и графики накладываются друг на друга, и лучше видно проявление двух синусов.